

オニカサガ建設局構造設計事務所

同上

高井俊郎
岩渕宗一

1) まえがき

防波堤マウンドを洗掘から防護するため、マウンドを異形ブロックで被覆する例が多くみられるが、これによつて、堤体前面の水深が浅くなるなど、マウンドの形状が変化して、堤体に作用する波力を増大させると予想される。そのため、堤体前面のマウンド形状の変化による波力への影響を検討する目的で、二次元水路による模型実験を実施した。

また、この実験では被覆ブロックだけではなく、堤体前面の消波を目的とする消波ブロックについてもあわせて実験し、堤体前面における異形ブロックの天端高、天端巾と堤体移動量及び波力との関係について、広く検討しようとしている。

2) 実験

実験水路は、フラップ式造波機を備え、長さ18m、巾0.5m、深さ2.0mの二次元造波水路を用いた。また、実験においては、ケーソン堤体の運動状況の観測に主眼を置いていたため、模型堤体の表面粗度を現地ケーソンに合致させることと、表面モルタル仕上げの木製のものを用いた。このほか、実験には以下の点を考慮している。

- (1) 模型縮尺は $1/50$ とい、図-1に示す模型断面図によつて実験した。海浜勾配は堤体より冲側1.0mを水平床とし、その沖側は $50m \times 1/50$ 、さうしてその沖側は $1/10$ の勾配とした。

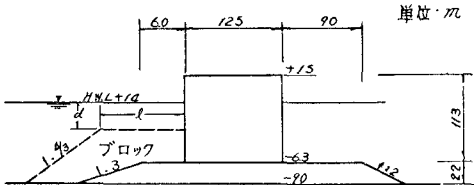


図-1 実験断面図

- (2) 異形ブロックの天端高及び天端巾は表-1に示すとおりである。

- (3) 実験では、現地スケールの波高6m、周期9sec. 11sec. 12secの3種類の波を用いた。

- (4) ケーソン堤体の重量は、模型堤体の中蓋筋によって変化させた。

- (5) ケーソン堤体とマウンド積石との摩擦係数 μ は、堤体をバネばかり引張り方法によって3種の資料を平均して $\mu = 0.62$ とした。

- (6) ケーソン堤体には5波の波を与え、その移動量をどのよしで測定した。この場合、堤体がはげしく移動する重量から順次移動量ゼロ(0.5cm以下)まで重量を増加し、抵抗力を推定した。

- (7) ブロックを安定に保つため、金網によつて被覆し、重落、滑動を防いだ。

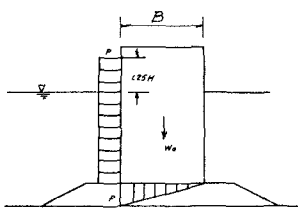
3) 実験結果と考察

- (1) 平均抵抗強度の算定

ここでは、実験により得られた天端高と堤体重量との関係から平均抵抗強度を逆算する方法(港研報告第5巻、14号)によつた。すなはち図-2に示す波圧および揚圧の合力から次式を

堤体設置水深(m)	ブロック天端巾l(m)	ブロック天端高d(m)	$\frac{d}{h}$
1		+5.0	-0.000
2		+4.4	-0.033
3	1.8	+4.0	-0.289
4	6.0	+3.8	-0.267
5	11.0	+3.2	-0.200
6	22.0	+2.6	-0.133
7		+2.0	-0.067
8	-9.0	+0.8	+0.667
9	44.0	+0.2	+0.033
10	55.0	±0.0	+0.000
11		-0.4	+0.200
12		-1.0	+0.267
13		-1.6	+0.333
14		-2.0	+0.375
15		-4.0	+0.489
16		-6.0	+0.833

表-1 異形ブロックの天端巾及び天端高



用いて平均抵抗を求める。

$$Pd = \mu (w_0 - P \frac{B}{2})$$

$$\therefore P = \frac{\mu w_0}{1 + \frac{\mu}{2} B}$$

l : 壁高あるいは底面から静水面上 $l/H = 1.25$ までの高さのうちのかかる μ の値

B : 提体巾

μ : 摩擦係数

w_0 : 提体水中重量

図-2 波压、揚圧力の分布

(2) 被覆ブロックの天端巾による変化

ブロック天端高が $-4m$ ($d/H = 0.9$) ただし被覆ブロック天端における水深……図-4 参照)について、天端巾の変化に伴なう波力 (P/wH) の変化を図-3 に示す。これによると、ケーン提体に作用する波力は、ブロックの天端巾しか波長 l の $0.1 \sim 0.2$ で極大となることがわかるが、 l が波力に及ぼす影響是比较的小さく、非常に広いブロックに対しては波力の大きな減殺効果は認められない。なお、図中にブロックを置かない場合 ($d/H = 1.28$, $l = 0$) を参考までに示した。

(3) ブロックの天端高による変化

ブロックの天端高を変化させた場合の実験結果を図-4 に示す。これによると、模型断面構造は異なるが港研の実験結果と同一範囲で比較する限り同じ傾向の値を示している。今回の実験で $H/d > 20$ の範囲で P/wH がほど同一値を示しており、 $H/d = 1.0 \sim 2.0$ 附近に碎波限界があり P/wH の変曲点が存在するとの予想される。

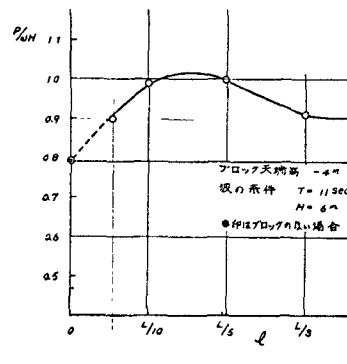


図-3 ブロック天端巾による波力の変化

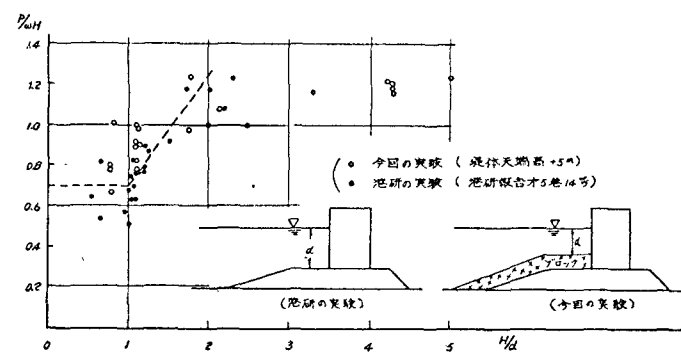


図-4 ブロック天端高による波力の変化

- (4) 天端巾と天端高とを同時に検討するため、横軸に巾 (波長の倍数) を縦軸に d/H (但し、 d は静水面や塊に天端が水中にあるときを正、水上にあらわれたときを負) として、 $l = 0 \sim 1.25$, $d/H = -0.6 \sim 1.2$ に対する P/wH の値を示すものが図-5 である。

これによると $H/d = 0$, $l = 0.1 \sim 0.2$ で波力は極大となる。従がって提体前面に被覆ブロック等を検討する場合、その形状によっては、マウンドは低くて高くマウンド堤に相当する波力を提体に受けかかることがあるので注意を要する。この場合の波力の計算はブロックの天端からの水深 (d) によつて P/wH を算出しこの波压 (P) を提体下端から与えるとする。

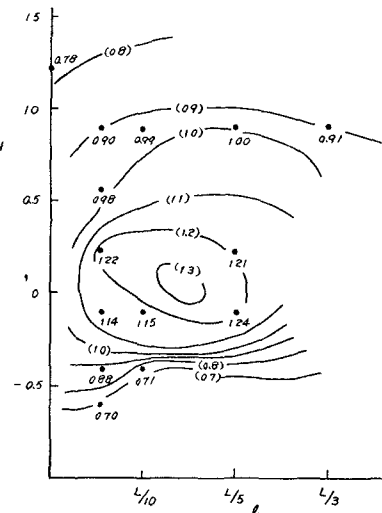


図-5 推定波力 (P/wH) 分布図